

**ESERCIZIO 1**

Si consideri una funzione di trasferimento del secondo ordine, con guadagno  $\mu = 10$ , senza zeri e con poli in  $-\alpha \pm j\alpha$ ,  $\alpha > 0$ .

**1.1)** Scrivere l'espressione di tale funzione di trasferimento.

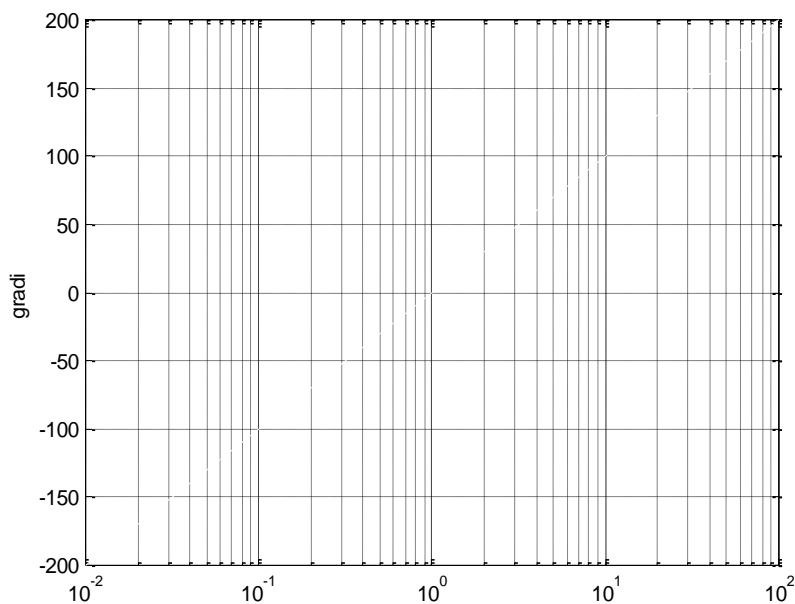
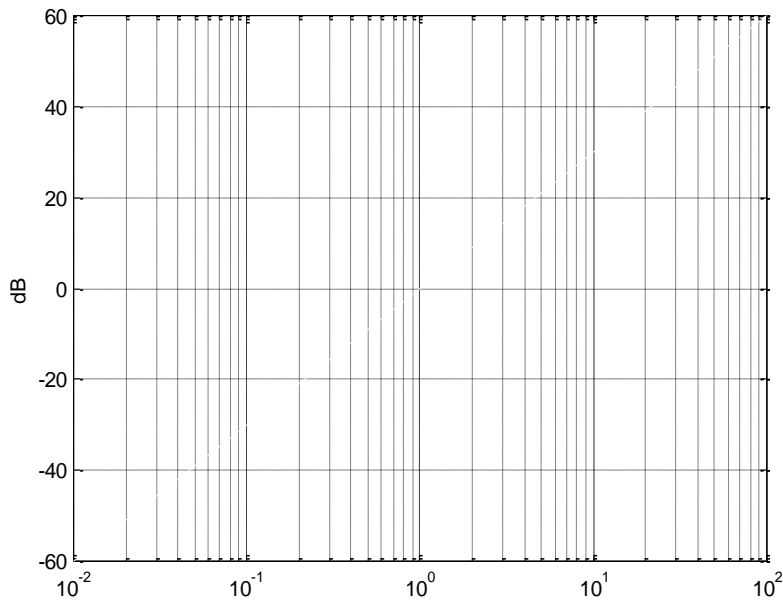
**1.2)** Determinare la pulsazione naturale  $\omega_n$  e lo smorzamento  $\xi$  dei poli, spiegandone il significato geometrico nel piano complesso.

**1.3)** Si supponga di applicare al sistema un ingresso a scalino unitario. Valutare, in funzione del parametro positivo  $\alpha$ , il tempo di assestamento  $t_a$ , l'ampiezza della massima sovraelongazione relativa  $\Delta$ , e il periodo delle oscillazioni  $T$ .

**1.4)** Si supponga ora di applicare al sistema l'ingresso sinusoidale  $u(t) = \sin(2t)$ . Determinare il valore di  $\alpha$  in modo che l'amplificazione dell'uscita (a regime) rispetto all'ingresso sia pari a 0 dB.

**ESERCIZIO 2**

2.1) Tracciare i diagrammi di Bode asintotici del modulo e della fase di  $G(s) = \frac{40(1+s)}{(1+15s)(1+0.2s)}$ .

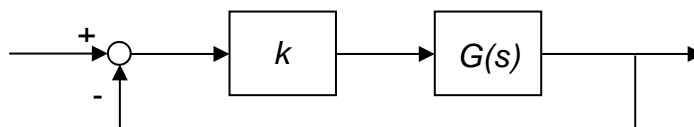


2.2) Dai diagrammi di Bode valutare l'amplificazione in corrispondenza di  $\omega = 3$ .

2.3) Con riferimento a un generico sistema, enunciare il teorema della risposta in frequenza. Spiegare perché un'ipotesi fondamentale del teorema è quella di asintotica stabilità; verificare poi che essa è soddisfatta nel caso in esame.

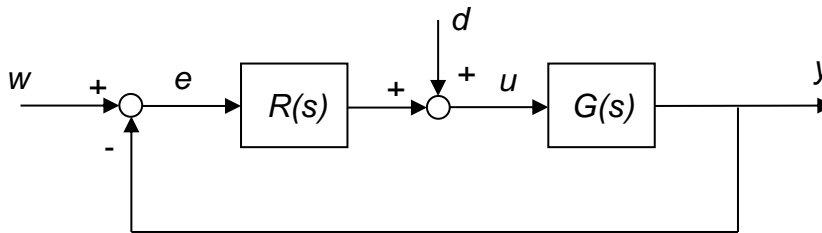
2.4) Tracciare l'andamento qualitativo del diagramma polare associato a  $G(s)$ .

2.5) Si consideri ora il sistema retroazionato in figura. Mediante il criterio di Nyquist, discutere la stabilità di tale sistema al variare del parametro reale  $k$ .

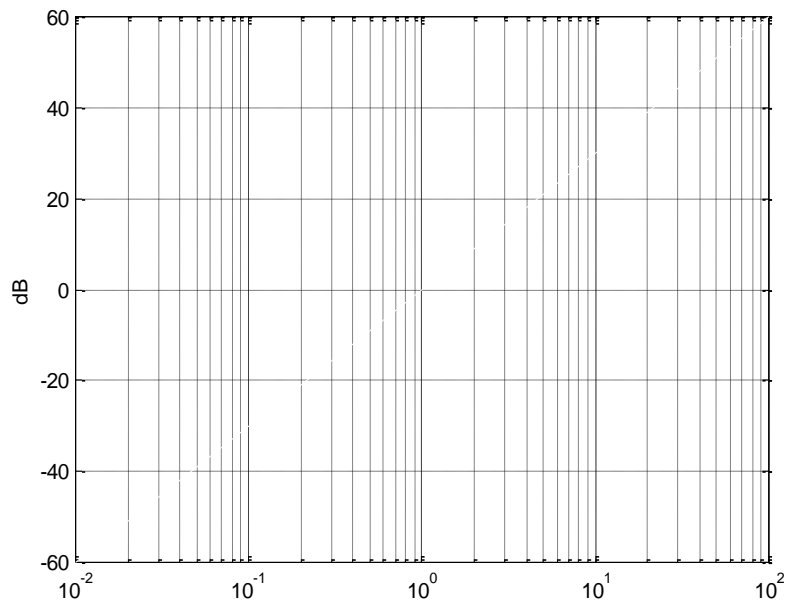


**ESERCIZIO 3**

Si consideri il sistema di controllo mostrato in figura, in cui  $G(s) = \frac{1}{1+10s}$  e  $R(s) = 100$ .



**3.1)** Tracciare il diagramma di Bode del modulo della funzione d'anello  $L(s)$ .



**3.2)** Valutare la pulsazione critica e il margine di fase del sistema di controllo.

**3.3)** Calcolare il valore dell'errore a transitorio esaurito quando entrambi gli ingressi  $w(t)$  e  $d(t)$  sono scalini unitari.

**3.4)** Dopo aver verificato che il sistema di controllo è nominalmente stabile, valutare la robustezza della stabilità rispetto a un ritardo aggiuntivo incerto.

**3.5)** Supponendo ora che il disturbo  $d(t)$  abbia uno spettro contenuto nella banda  $[0.2, 1]$ , valutare il suo effetto sulla variabile controllata  $y(t)$  (si consiglia di utilizzare il diagramma di Bode).

**SOLUZIONE DELL'ESERCIZIO 1**

**1.1)** I poli hanno pulsazione naturale  $\omega_n = \alpha\sqrt{2}$  e smorzamento  $\xi = 1/\sqrt{2}$ . Tenendo anche conto degli altri dati la funzione di trasferimento è

$$G(s) = \frac{20\alpha^2}{s^2 + 2\alpha s + 2\alpha^2}$$

**1.2)** Come si è detto, risulta  $\omega_n = \alpha\sqrt{2}$ ,  $\xi = 1/\sqrt{2}$ . La pulsazione naturale  $\omega_n$  rappresenta la distanza dei poli dall'origine, mentre lo smorzamento  $\xi$  è il coseno dell'angolo formato dal segmento che congiunge il polo superiore con l'origine e il semiasse reale negativo.

**1.3)** Si ottiene:

$$\begin{aligned} \text{tempo di assestamento:} & \quad t_a \cong 5/\xi\omega_n = 5/\alpha \\ \text{sovralongazione relativa:} & \quad \Delta = \exp\left(-\xi\pi/\sqrt{1-\xi^2}\right) = \exp(-\pi) \cong 0.04 \\ \text{periodo oscillazioni:} & \quad T = \frac{2\pi}{\omega_n\sqrt{1-\xi^2}} = \frac{2\pi}{\alpha} \end{aligned}$$

**1.4)** Per il teorema della risposta in frequenza, l'amplificazione a regime dell'uscita è pari a

$$|G(j2)| = \frac{20\alpha^2}{|(2\alpha^2 - 4) + j4\alpha|} = \frac{20\alpha^2}{\sqrt{4(\alpha^4 + 4)}} = \frac{10\alpha^2}{\sqrt{\alpha^4 + 4}}$$

Perché essa sia uguale a 1 (che corrisponde a 0 dB) basta che sia

$$\alpha^4 + 4 = 100\alpha^4$$

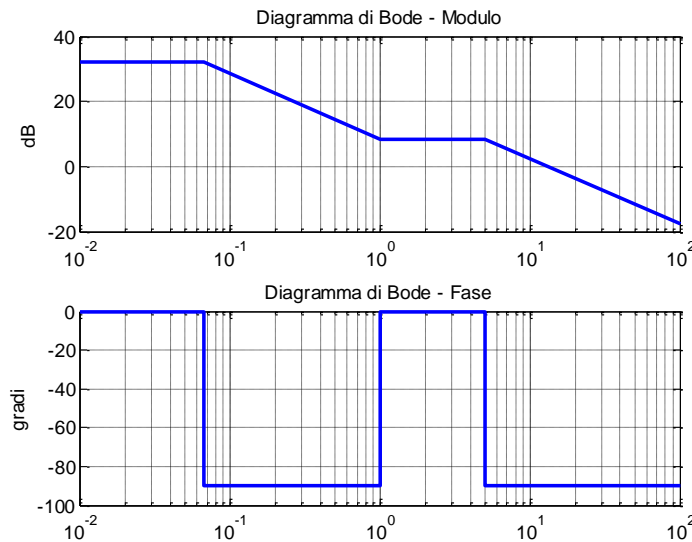
ovvero

$$\alpha = \sqrt[4]{4/99} \cong 0.45$$

considerando che  $\alpha$  è una costante positiva.

## SOLUZIONE DELL'ESERCIZIO 2

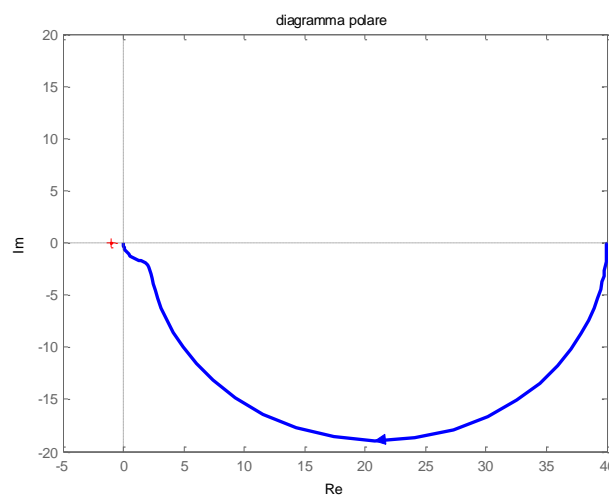
2.1) I diagrammi di Bode asintotici di modulo e fase sono i seguenti:



2.2) Dal diagramma del modulo, in corrispondenza di  $\omega = 3$ , si legge  $|G(j3)|_{dB} \cong 8dB$ , ovvero  $|G(j3)| \cong 10^{8/20} \cong 2.5$ .

2.3) Se si applica l'ingresso  $u(t) = \sin(\omega t)$  a un sistema asintoticamente stabile con funzione di trasferimento  $G(s)$ , l'uscita a transitorio esaurito vale  $y(t) \cong |G(j\omega)| \sin(\omega t + \arg G(j\omega))$ , qualunque sia lo stato iniziale. L'ipotesi di asintotica stabilit   e necessaria per poter trascurare, a transitorio esaurito, i contributi dei modi del sistema e del movimento libero. Nel sistema in esame i poli sono entrambi negativi (valgono infatti  $-1/15$  e  $-5$ ) e quindi l'ipotesi di asintotica stabilit   e verificata.

2.4) Basandosi sui diagrammi di Bode, si pu   ricavare il seguente andamento del diagramma polare:

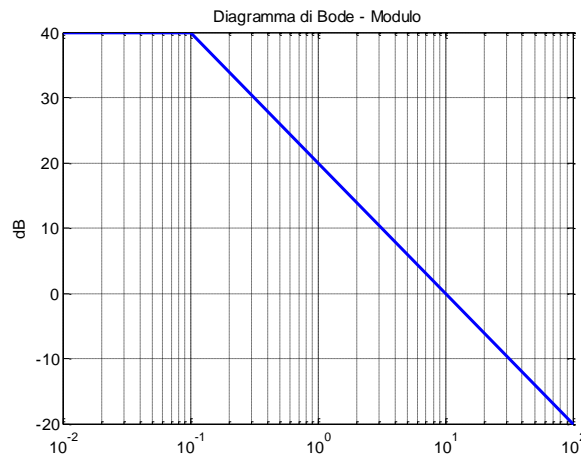


2.5) Si osservi dapprima che il diagramma di Nyquist  $\Gamma$  associato a  $G(s)$  si ottiene dal precedente diagramma polare completato con il suo simmetrico rispetto all'asse reale. Denotando con  $N$  il numero di giri di  $\Gamma$  intorno al punto  $-1/k$  e osservando che  $P = 0$ , si ricava:

$N = P = 0$	per $k > 0$ e per $-1/40 < k < 0$	$\rightarrow$	asintotica stabilit��
$N$ non ben definito	per $k = -1/40$	$\rightarrow$	non asintotica stabilit��
$N = -1 \neq P = 0$	per $k < -1/40$	$\rightarrow$	instabilit��

### SOLUZIONE DELL'ESERCIZIO 3

3.1) La funzione d'anello è  $L(s) = R(s)G(s) = \frac{100}{1+10s}$ . Il suo diagramma di Bode (asintotico) del modulo è qui riportato:



3.2) Dal diagramma si ricava la pulsazione critica  $\omega_c \cong 10$ . In corrispondenza si ha

$$\varphi_c = \arg L(j\omega_c) = -\arctan(10\omega_c) = -\arctan(100) \cong -89^\circ$$

e pertanto il margine di fase vale  $\varphi_m \cong 180^\circ - 89^\circ = 91^\circ$ .

3.3) Risulta  $e(\infty) = e_w(\infty) + e_d(\infty)$ , dove i due contributi dipendono rispettivamente da  $w$  e da  $d$ . Poiché  $L(s)$  ha tipo nullo e guadagno  $\mu = 100$ , risulta

$$e_w(\infty) = \frac{1}{1+\mu} = \frac{1}{101}, \quad e_d(\infty) = \frac{-1}{1+\mu} = \frac{-1}{101}$$

Pertanto, a transitorio esaurito,  $e(\infty) = 0$ .

3.4) Sono verificate le condizioni di applicabilità del criterio di Bode. Risulta poi  $\mu = 100 > 0$  e  $\varphi_m \cong 91^\circ > 0$ . Quindi il sistema di controllo è (nominalmente) asintoticamente stabile e rimane stabile per qualunque ritardo  $\tau < \tau_m$ , con

$$\tau_m = \frac{\varphi_m}{\omega_c} \frac{\pi}{180^\circ} \cong 9.1 \frac{\pi}{180^\circ} \cong 0.16$$

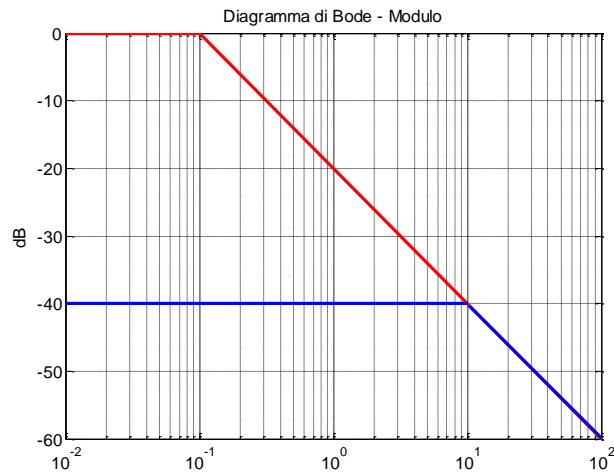
3.5) Occorre considerare la funzione di trasferimento

$$M(s) = \frac{G(s)}{1 + R(s)G(s)}$$

tra il disturbo  $d$  e la variabile controllata  $y$ , e valutarne la risposta in frequenza nella banda  $B = [0.2, 1]$ . Per far ciò conviene riferirsi alla seguente approssimazione:

$$|M(j\omega)| \cong \begin{cases} \frac{1}{|R(j\omega)|} & , \omega < \omega_c \\ |G(j\omega)| & , \omega \geq \omega_c \end{cases}$$

che genera il diagramma di Bode approssimato mostrato nella seguente figura (la curva in rosso rappresenta il diagramma di  $|G(j\omega)|$  e la curva in blu quello di  $|M(j\omega)|$ ).



Come si nota, l'intervallo  $B = [0.2, 1]$  corrisponde a una zona in cui il diagramma di  $|M(j\omega)|$  è circa orizzontale e assume il valore  $-40$  dB. L'effetto del disturbo viene quindi amplificato di tale valore, corrispondente a un fattore di attenuazione di 0.01.